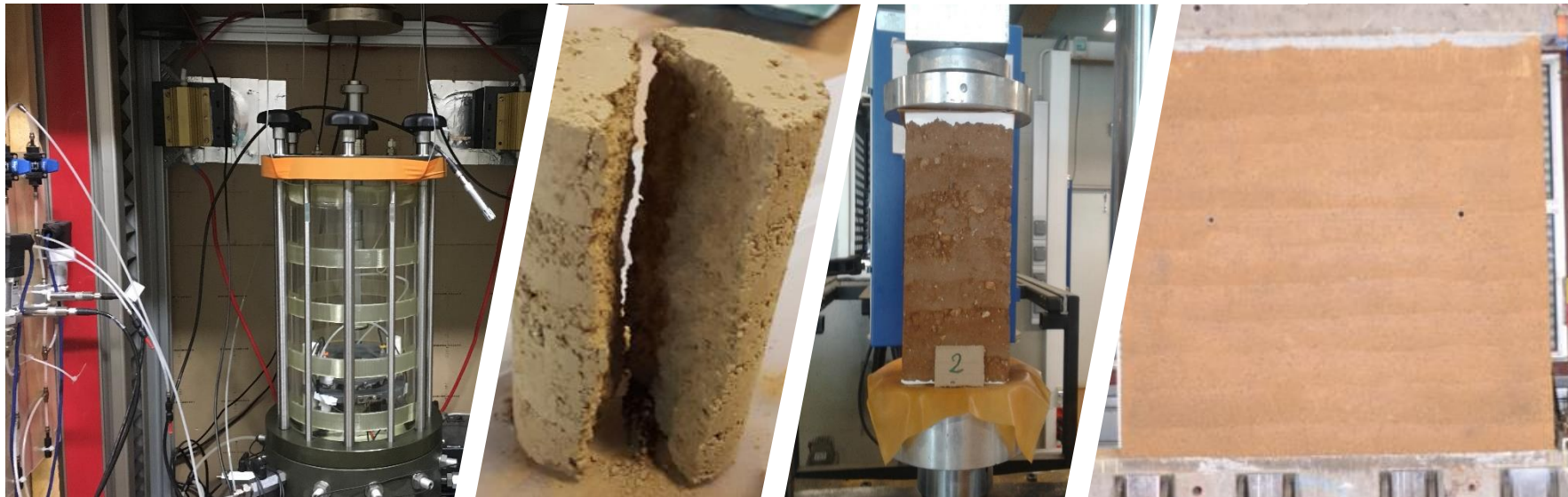
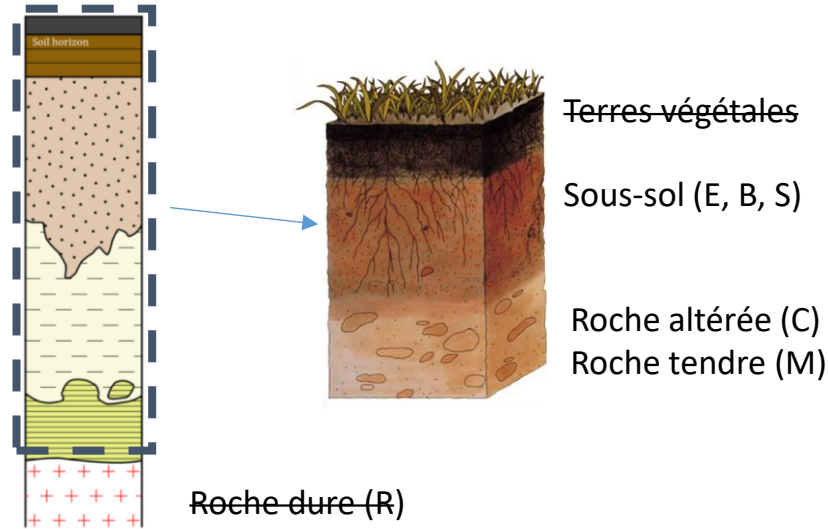


# Comportement mécanique de la terre crue



# Terre crue ?

Matériau naturel issu du sol ou du sous-sol, utilisé cru, et dont la cohésion est assurée par la présence d'argiles.



# Bâtiments neufs

Exemples de constructions en terre crue dans la région Auvergne Rhône-Alpes



© Dominique-Coulon

*Les ateliers de la danse, Lyon 8<sup>ème</sup>  
Dominique Coulon & associés (architectes); Donato Construction  
(Maçon-e-s), Batiserf (BET structure) ©*



*L'Orangerie, Confluence, Lyon  
Clément Vergely (architectes); Nicolas Meunier Le pisé (Maçon-e-s)  
Batiserf (BET structure) ©*

# Quels sont les problèmes ?



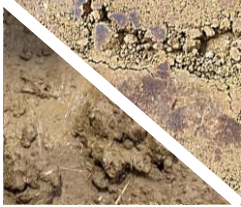
# Quels sont les enjeux ?

- Comment **tester / quantifier** le comportement mécanique du matériau ?
- Comportement au **jeune à âge** (séchage, retrait, fluage...)
- Problématique des **reports de charges**, des **interfaces**
- Comportement **parasismique, paracyclonique**
- Manque général de **retours d'expériences**

# Quels sont les enjeux ?



Matériau et méthodes de fabrication non standardisés



Dont les propriétés/performances varient au cours du temps (**teneur en eau**)



Qui possède différents **niveaux d'hétérogénéité**



# Plan de la présentation

- Comment **tester / quantifier** le comportement mécanique du matériau ?
- Comportement au **jeune à âge** (séchage, retrait, fluage...)

1/ Mesure du comportement mécanique du matériau

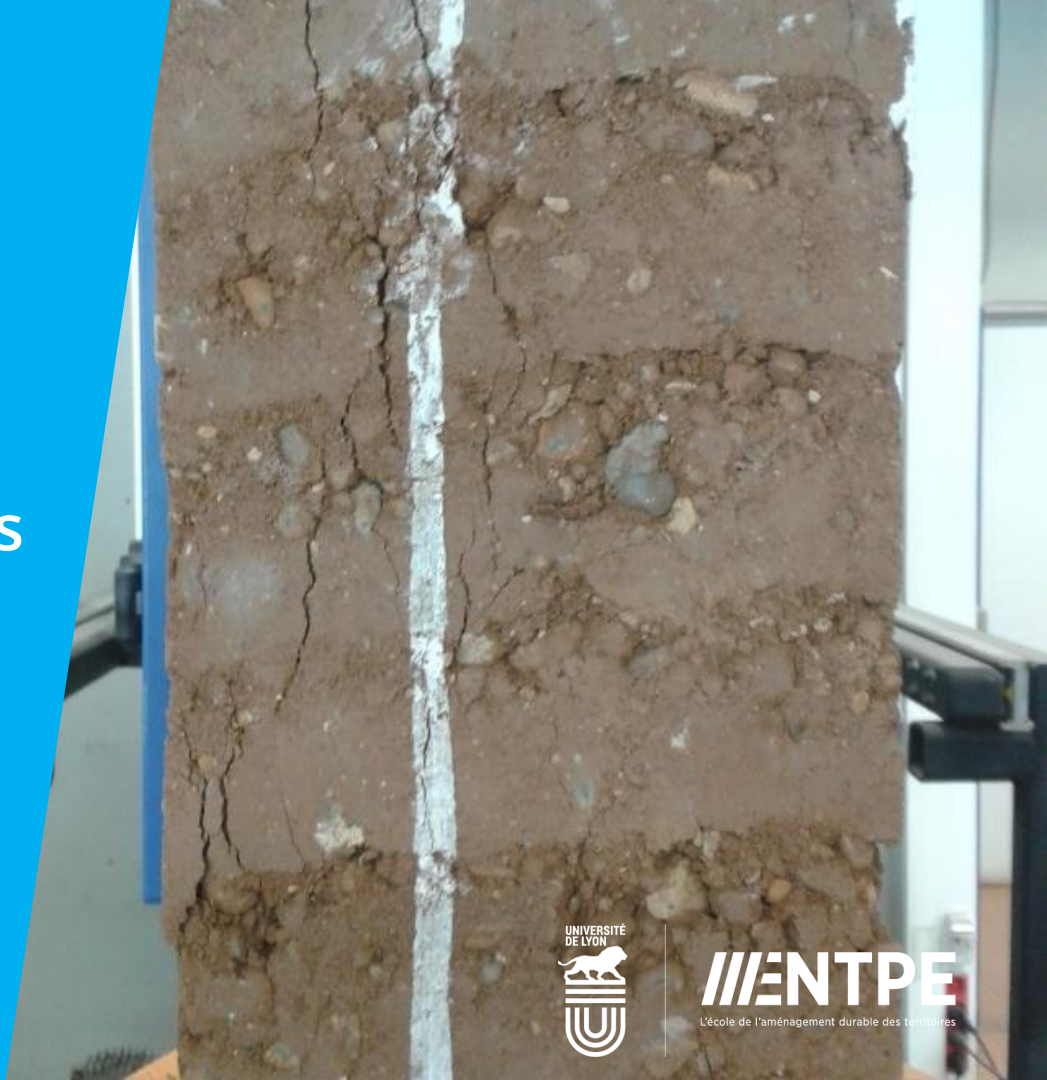
2/ Impact de l'eau sur le comportement mécanique

3/ Modélisation du comportement

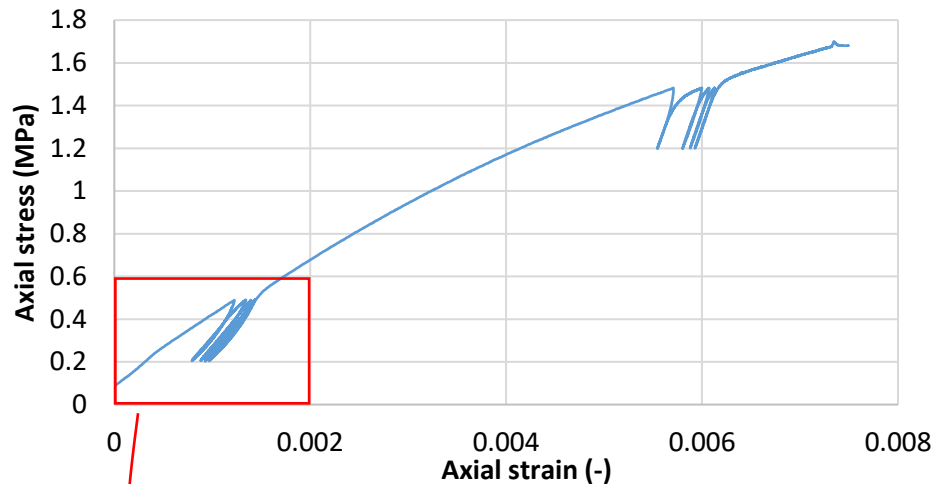
4/ Méthodes de contrôle in-situ

# 01

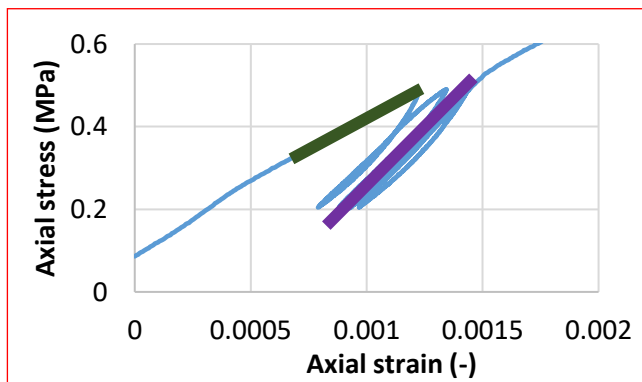
## Assessment of the mechanical performances



# /// Uniaxial compression test : Young's modulus

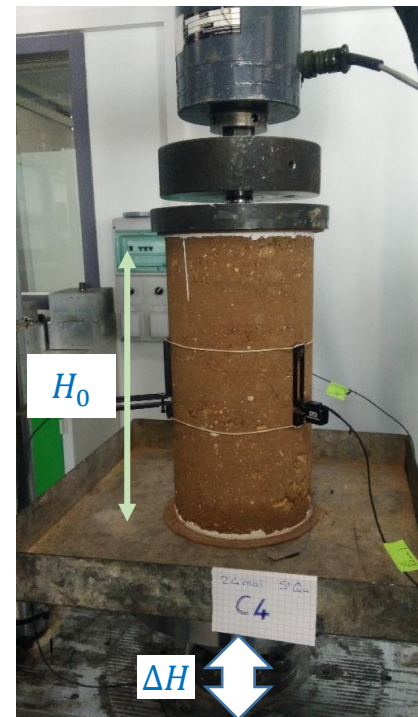


$$\text{Total strain} = \frac{\Delta H}{H_0}$$

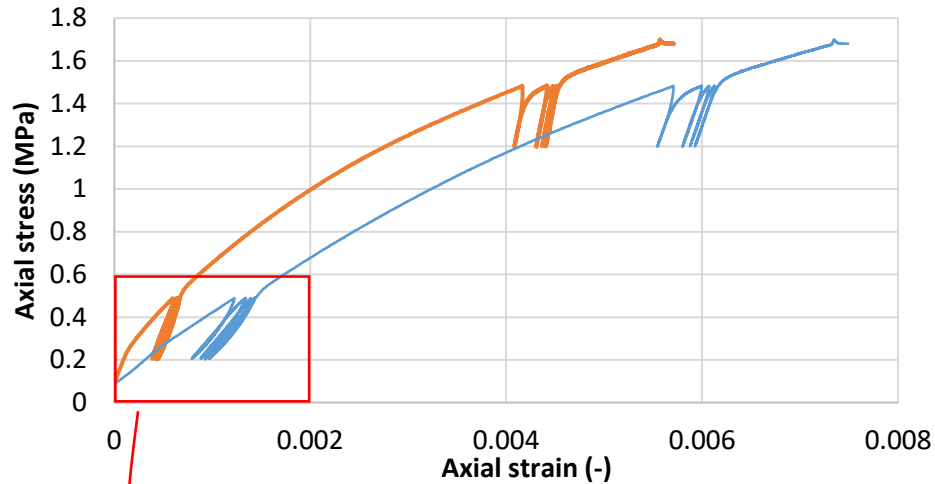


$$E_0 = 0.30 \text{ GPa}$$

$$E_{\text{cycle}} = 0.57 \text{ GPa}$$

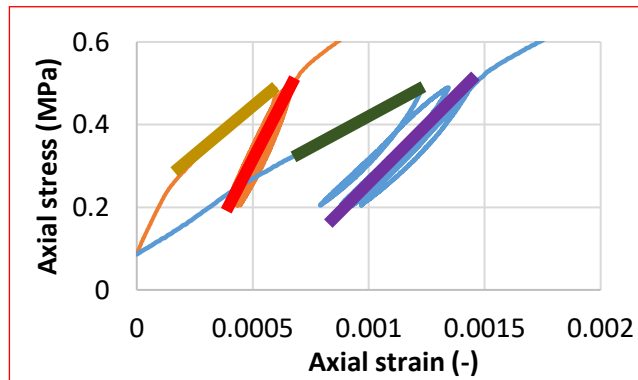


# /// Uniaxial compression test : Young's modulus



$$\text{Total strain} = \frac{\Delta H}{H_0}$$

$$\text{Local strain} = \frac{\Delta L}{L_0}$$

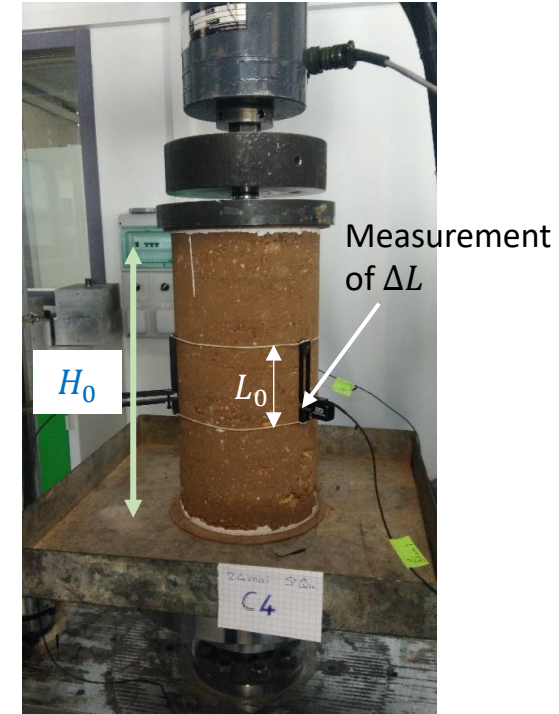


$$E_0 = 0.30 \text{ GPa}$$

$$E_{\text{cycle}} = 0.57 \text{ GPa}$$

$$E_0 = 0.50 \text{ GPa}$$

$$E_{\text{cycle}} = 1.20 \text{ GPa}$$



# /// Uniaxial compression test : Shape ratio

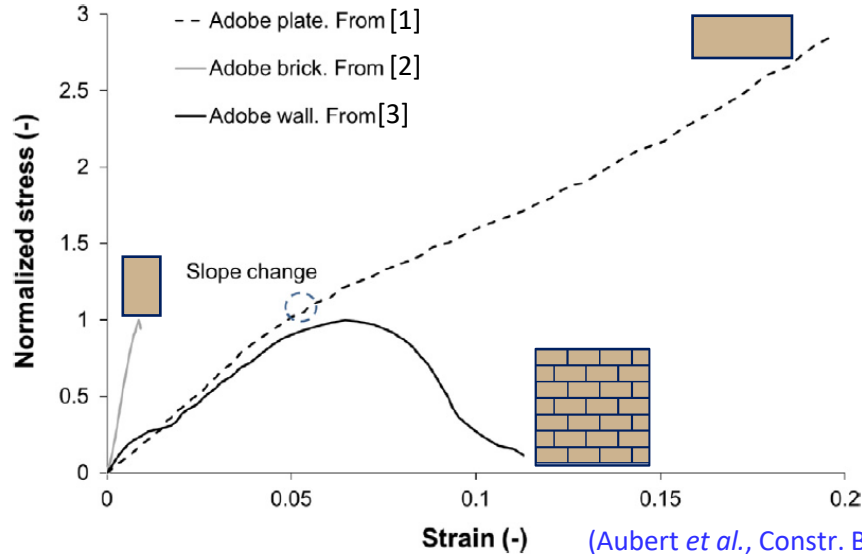
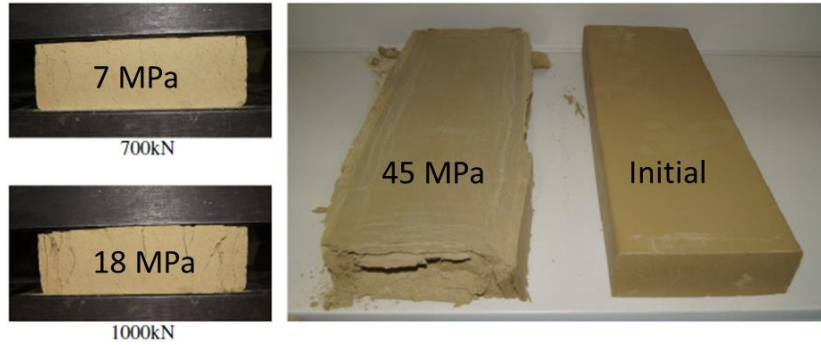
Main direction of the mechanical solicitation



?



# /// Uniaxial compression test : Shape ratio



(Zenou, 2013)

[1] Eslami A, Ronagh H, Mahini S, Morshed R. Experimental investigation and non linear FE analysis of historical masonry buildings – a case study. *Constr Build Mater* 2012;35:251–60.

[2] Kouakou C, Morel JC. Strength and elasto-plastic properties of non-industrial building materials manufactured with clay as a natural binder. *Appl Clay Sci* 2009;44:27–34.

[3] Quagliarini E, Lenci S, Iorio M. Mechanical properties of adobe walls in a Roman Republican domus at Suasa. *J Cult Herit* 2010;11:130–7.

# /// Uniaxial Compression test : Work in progress

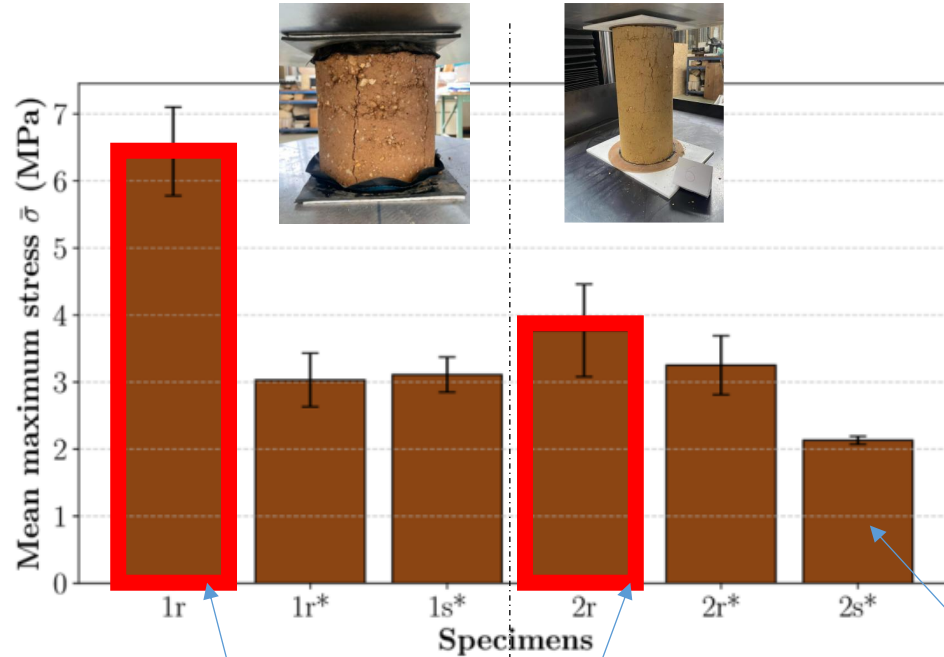
Definition of protocol for uniaxial compression test for RE samples and masonry units.

For rammed earth samples, it consists in :

- Manufacturing method based on **Proctor compaction**
- **Surfacing protocols**: either by trowelling or sanding and **use of a novel anti-fretting device**.
- **Drying condition prior to testing**: 60°C in an oven with <5% RH until constant mass
- **Test control conditions** : in displacement, at 1.2mm/min, test stopped after a 10% drop in measured force.



# /// Uniaxial Compression test : Work in progress



Without anti-fretting device

Higher water content of 1.07%  
Instead of 0.31% to 0.46% for  
other samples



- This systems seems to provide quite simple and reproducible laboratory sample manufacturing and testing protocol for compressive strength
- But limitations for the stiffness determination
- Results to be confirmed through RRT (in progress)

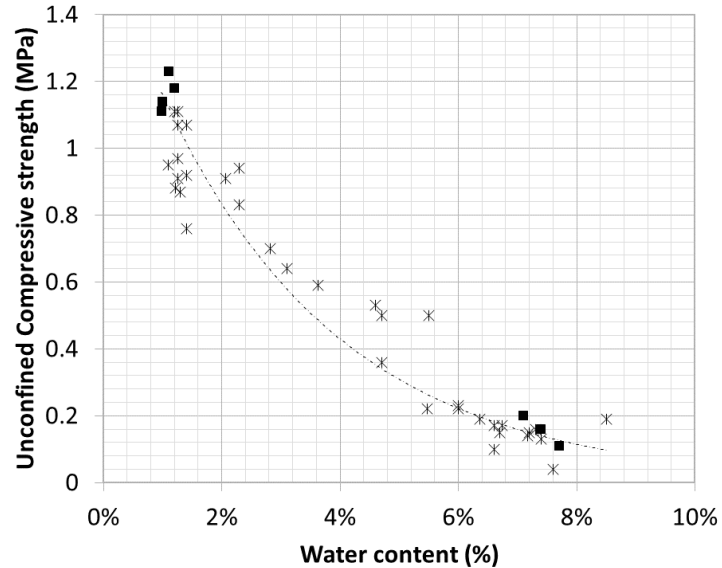


# 02

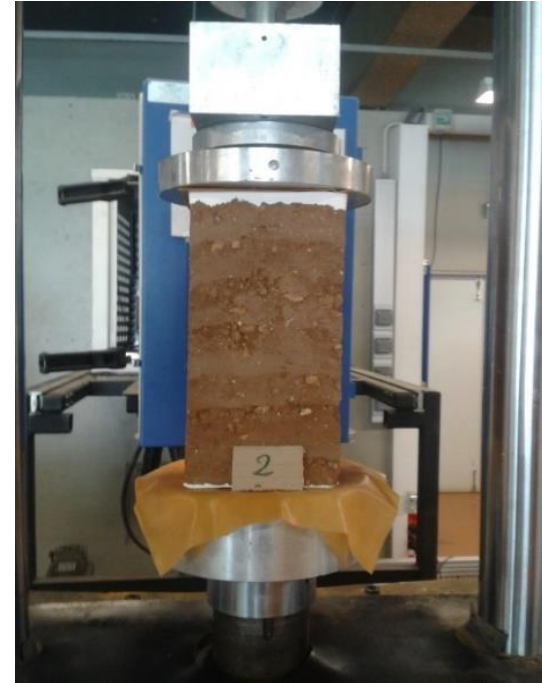
## Impact of water on the mechanical behavior



## /// Hydromechanical behavior

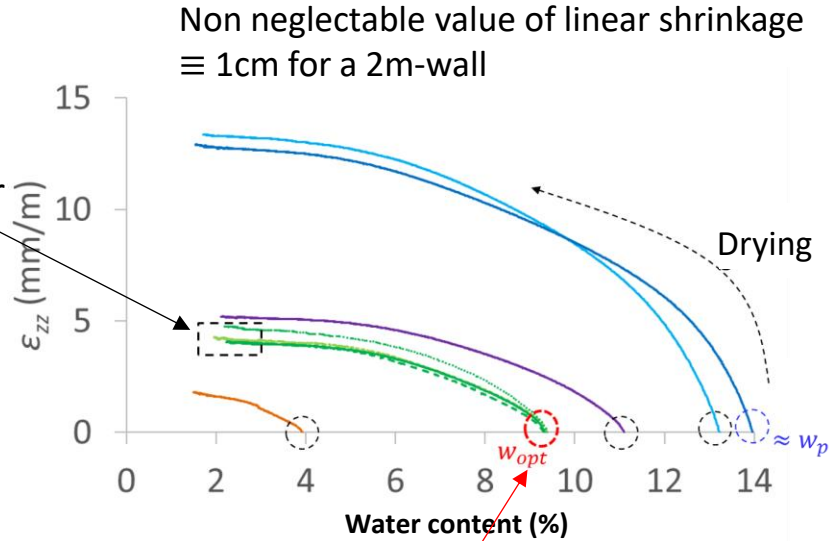
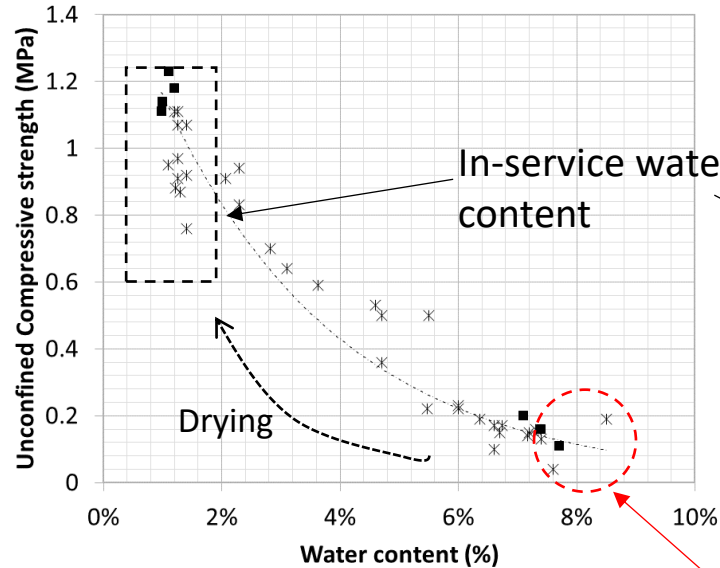


Mass of water within on unit of material dry mass



Tests on  
rammed  
earth  
samples

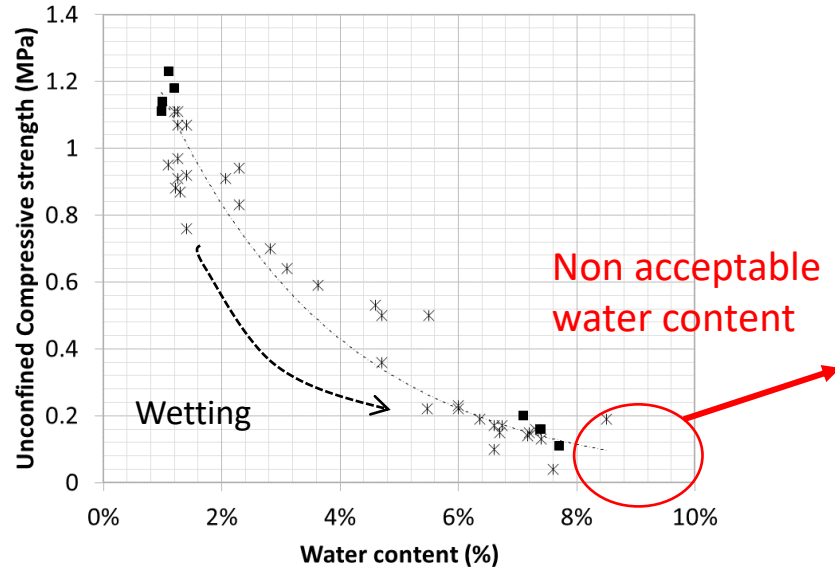
# /// Hydromechanical behavior



Water content of fabrication

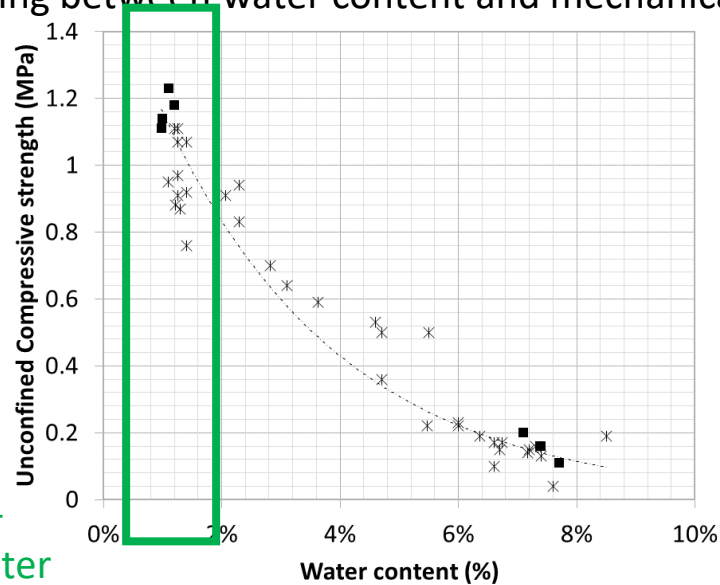
Major challenge of controlling the  
 « early-age-drying » of the material.

# /// Hydromechanical behavior

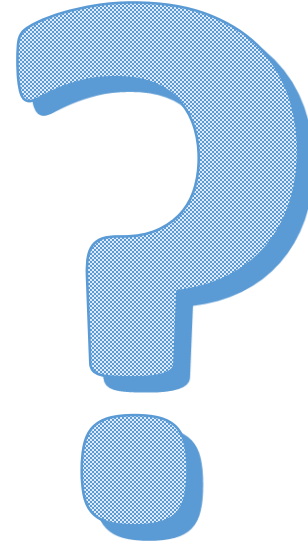


# /// Hydromechanical behavior

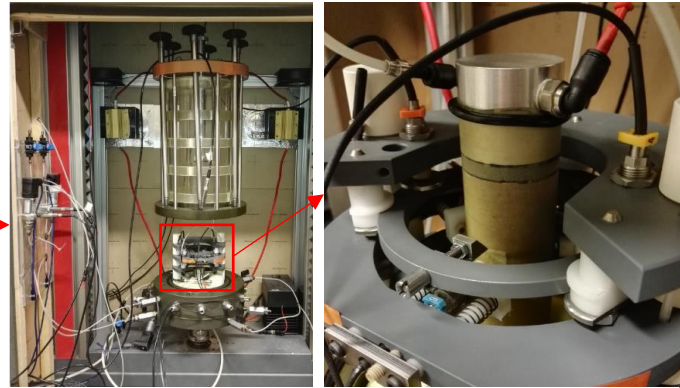
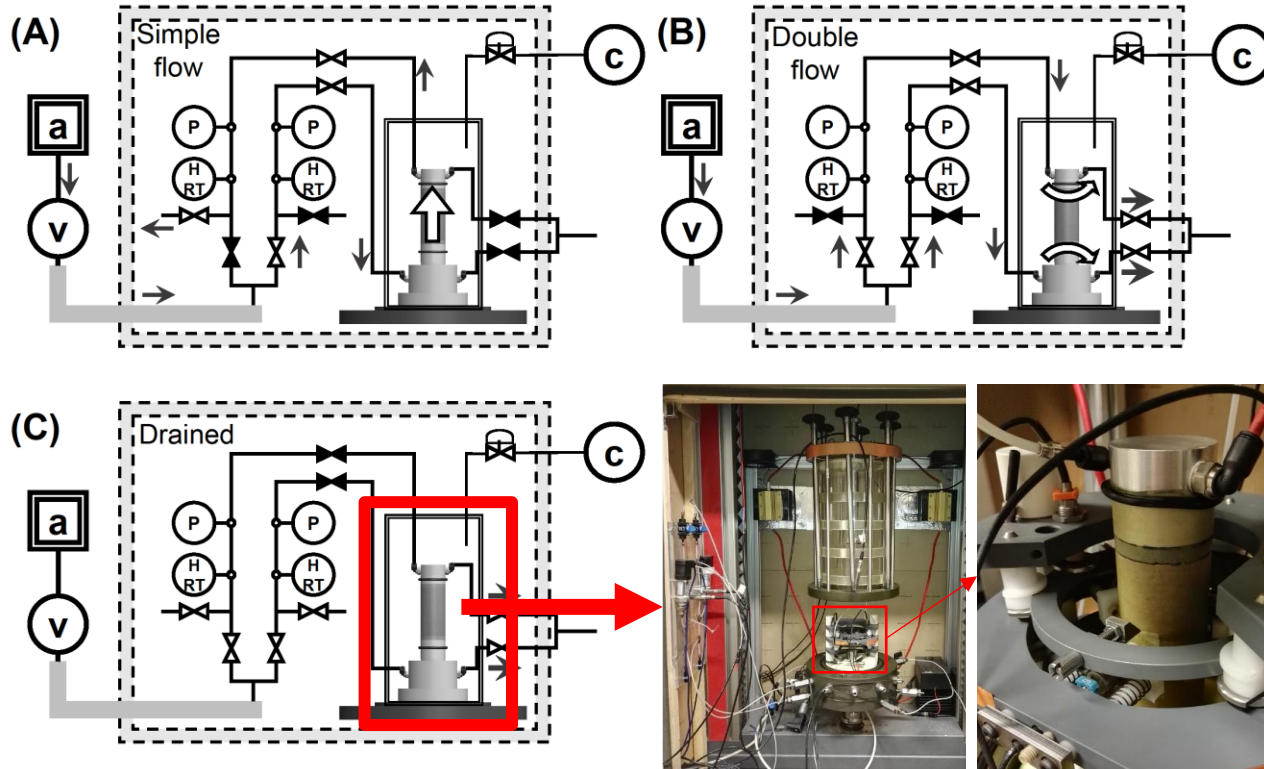
- ✓ Coupling between water content and mechanical behavior



Normal in-service water content



# /// Triaxial behavior at constant temperature and relative humidity



# /// Triaxial behavior at constant temperature and humidity



Testing conditions :

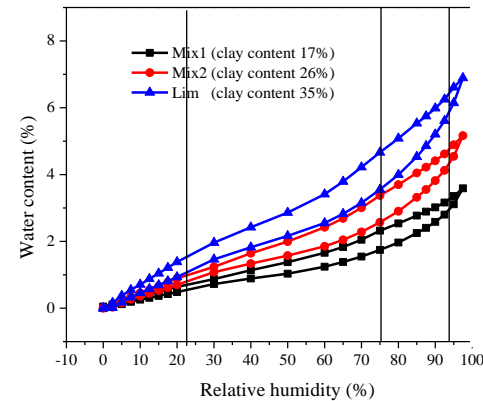
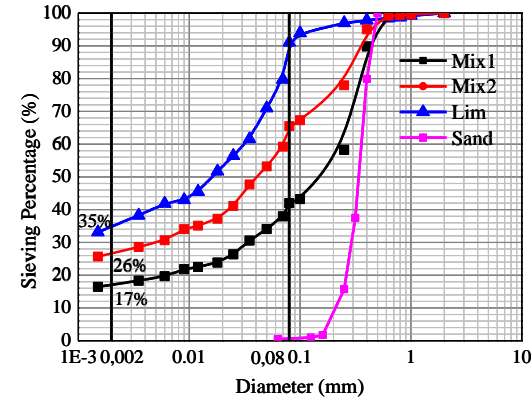
23°C

0 bar , 1 bar & 6 bar confinement pressure

Kelvin's law :

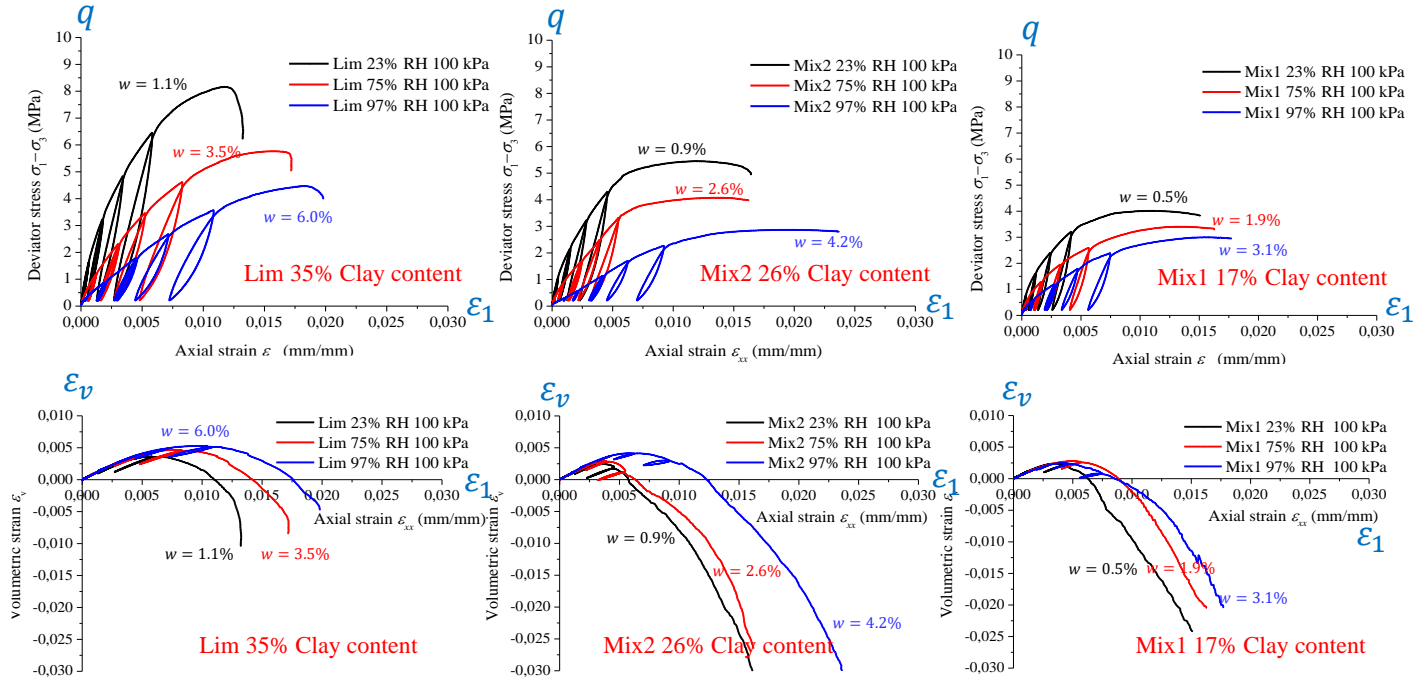
$$s = -\frac{\rho_L RT}{M_{H_2O}} \ln(RH)$$

RH (%)
23
75
97



# /// Triaxial behavior at constant temperature and humidity

Stress-strain and volumetric behavior (100 kPa confining pressure)

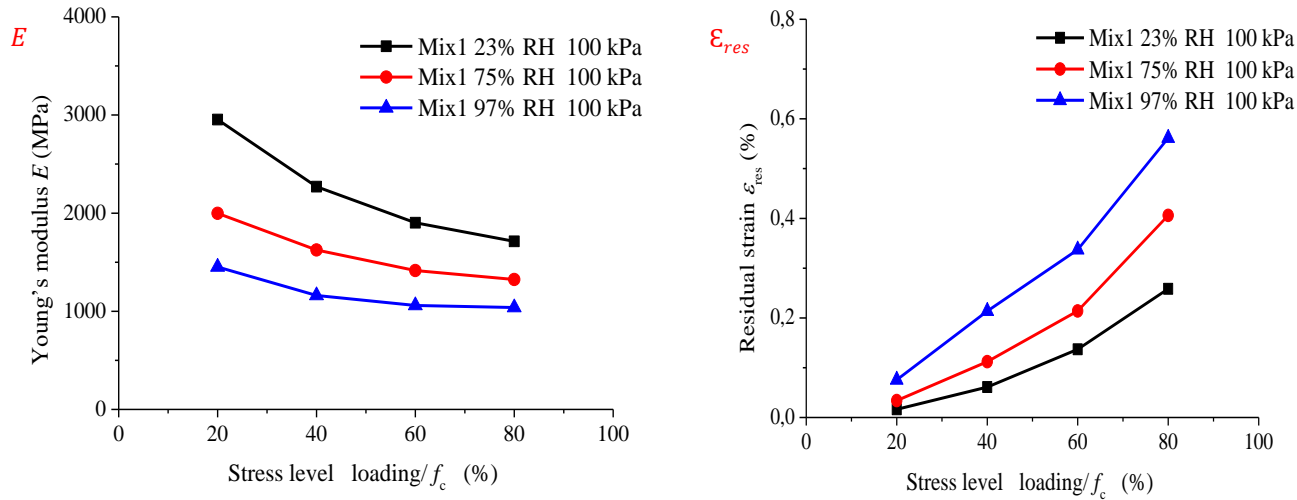


Complex volumetric evolution: contraction to dilation

A certain brittleness for Lim at low RH (high suction)

# /// Triaxial behavior at constant temperature and humidity

Influence of stress level on loading-unloading shear behavior



At constant relative humidity and confining pressure, a progressive degradation of Young's modulus  $E$  is observed with increasing applied stress. (providing us inspiration of taking into account damage into modeling)

An obvious increase of residual strain is also observed from lower stress level to higher stress level

# 03

## Modeling the hydro-mechanical behavior

# PORO MECHANICS



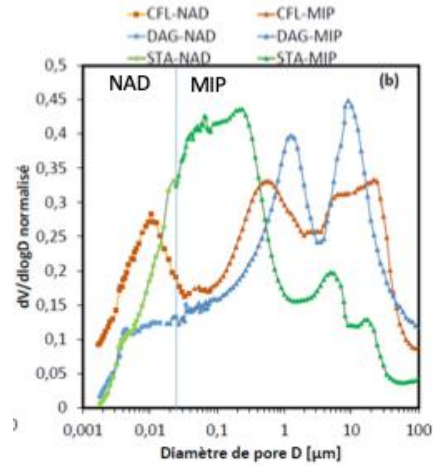
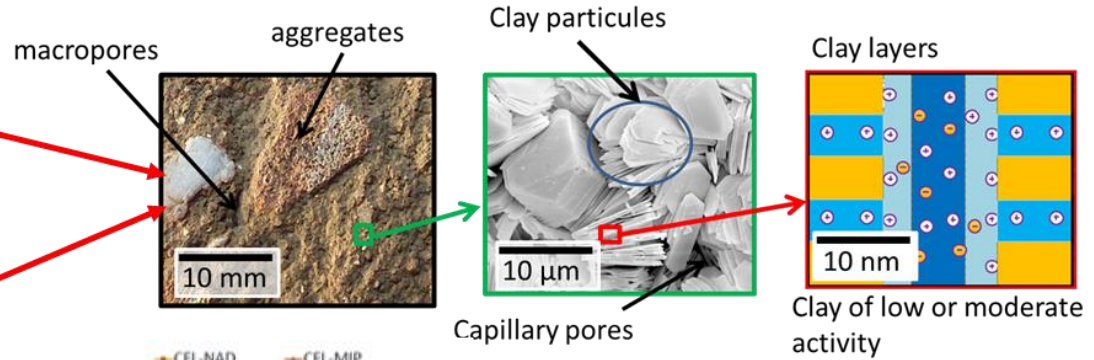
# Origin of the Hydromechanical coupling ?

# /// Concept of suction

© Pierre-Antoine Chabriac

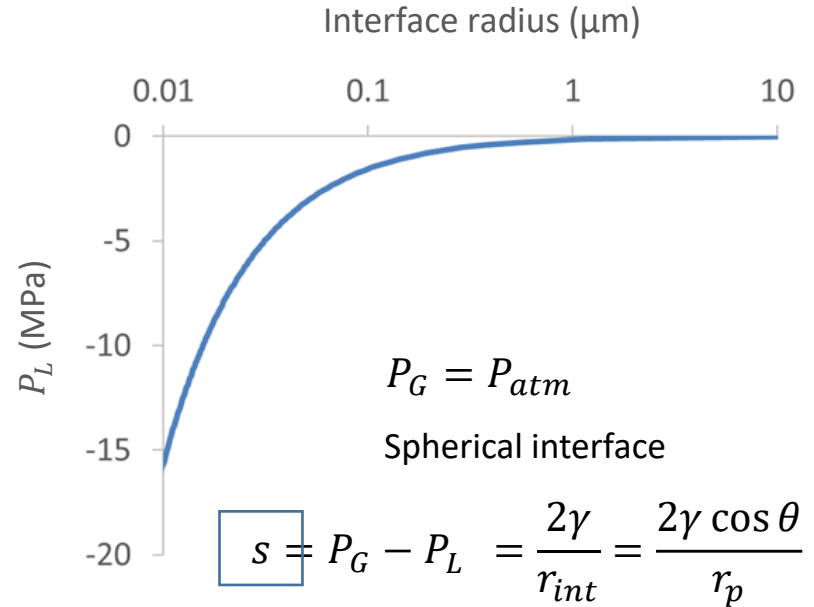
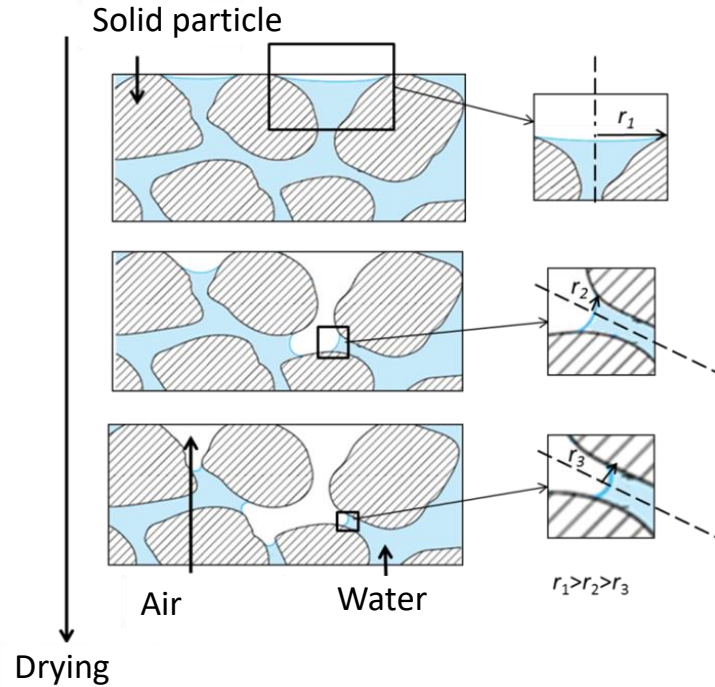


Earth = **clay** + **silt** + **sand** + **gravel** = **binder** + **aggregates**



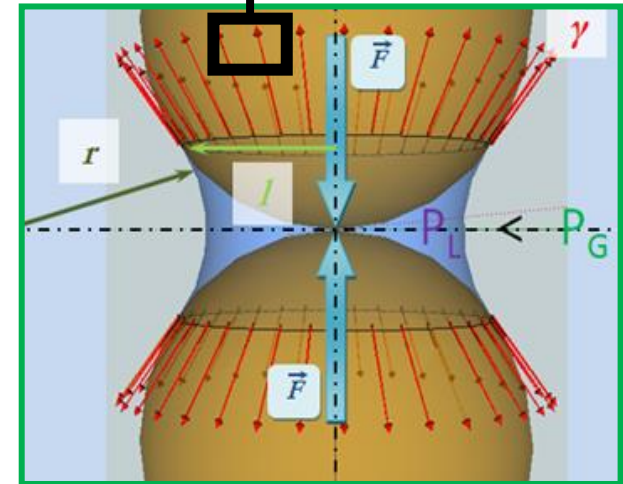
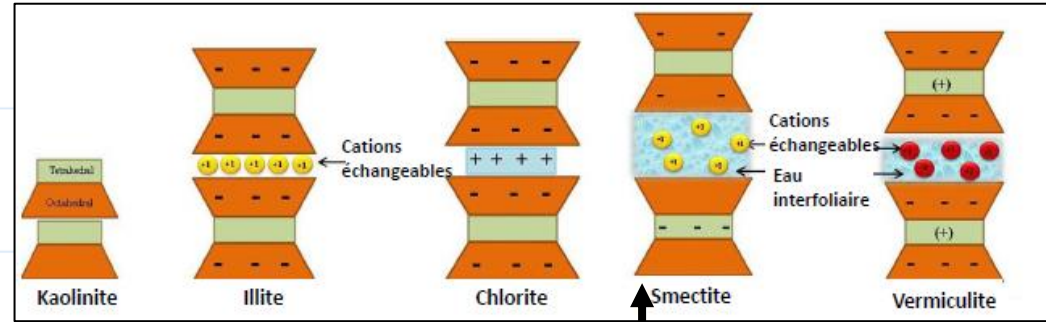
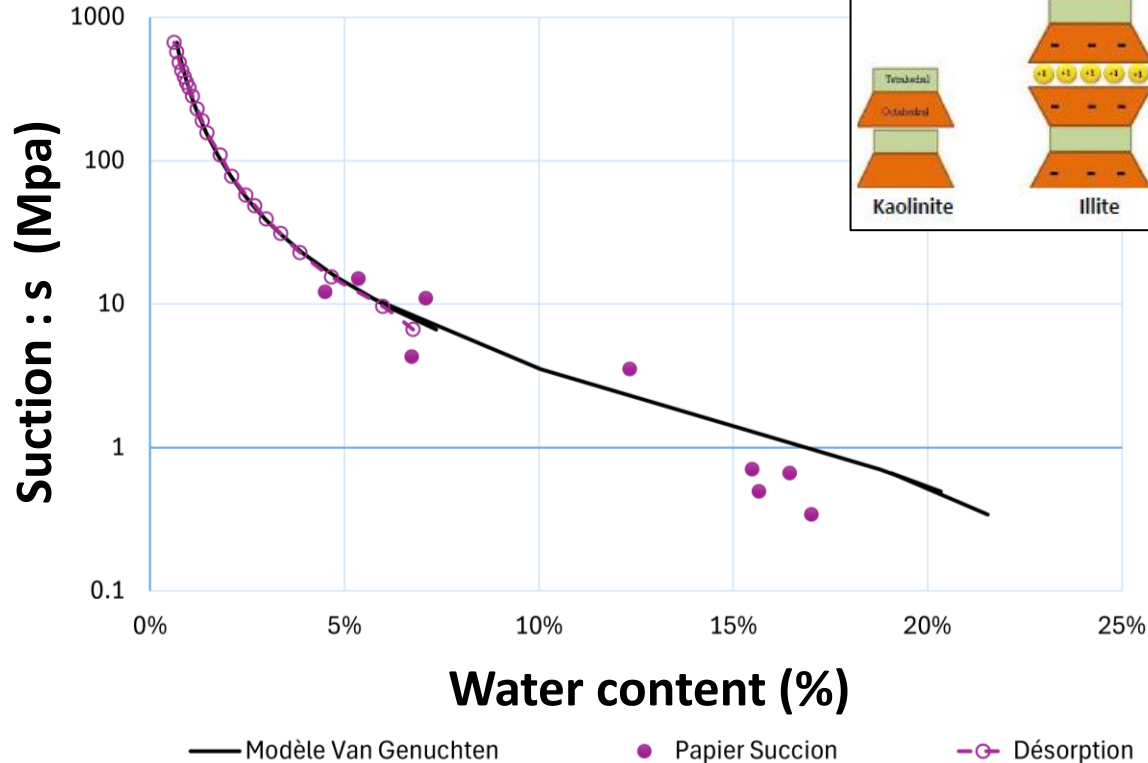
*Pore size distribution obtained by MIP and NAD on 3 different earths*

# /// Concept of suction



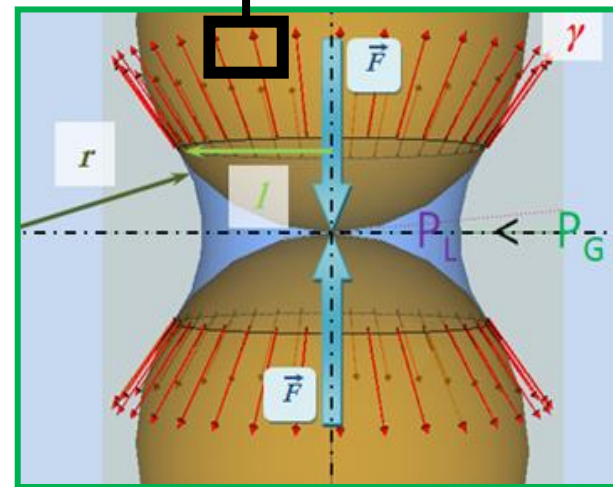
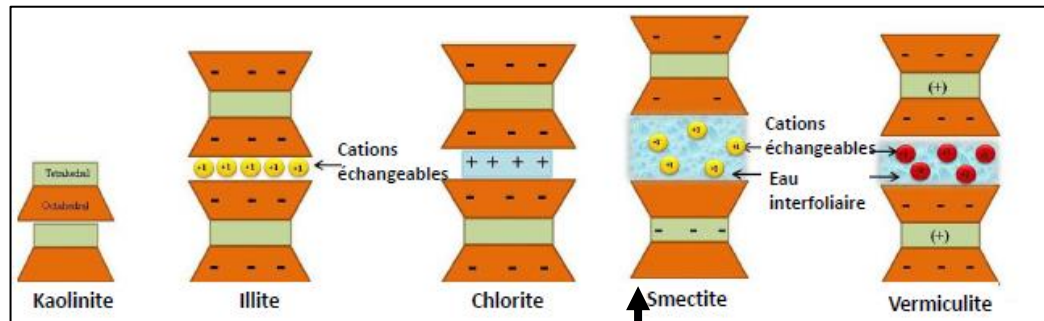
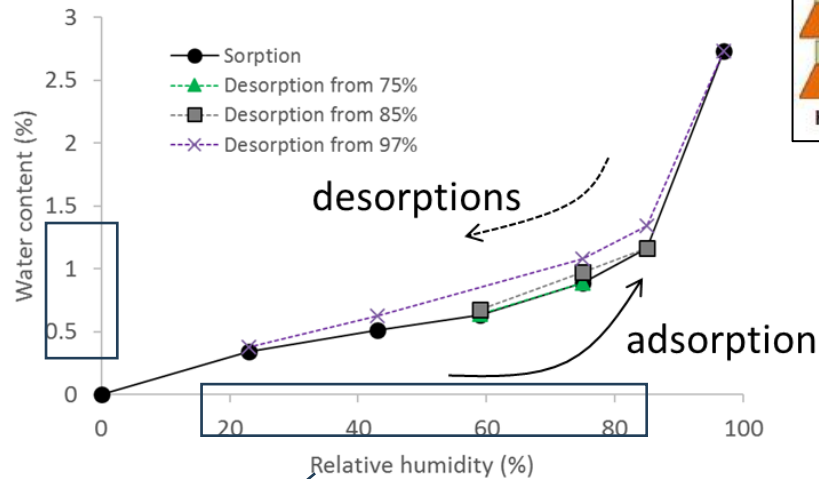
Matric suction or capillary pressure

# /// Concept of suction



$$s = P_G - P_L > 0 : \text{matric suction}$$

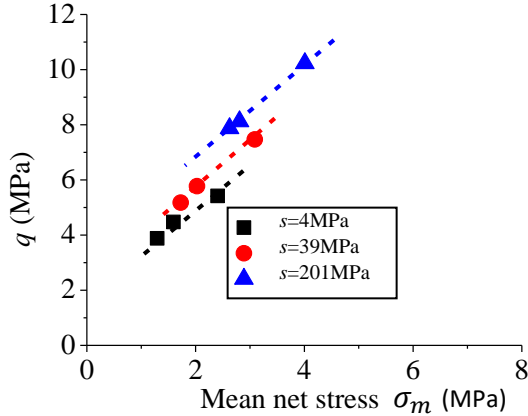
# /// Concept of suction



$$RH = \frac{p_v}{p_v^{sat}} \quad s = -\frac{\rho_L RT}{M_{H_2O}} \ln(RH)$$

$$s = P_G - P_L > 0 : \text{matric suction}$$

# /// Example of effective stress definition



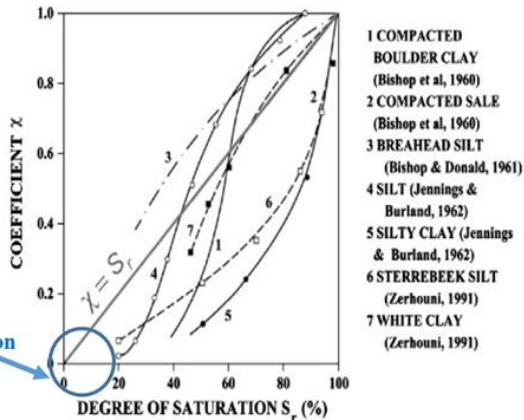
Mean effective stress  $p'$

$$\sigma'_{ij} = (\sigma_{ij} - u_a \delta_{ij}) + \chi s \delta_{ij}; \quad \sigma'_m = \sigma_m + \chi s$$

$$\chi = \left(\frac{s_e}{s}\right)^\alpha \quad \text{Adapted from (Khalili 1998)}$$

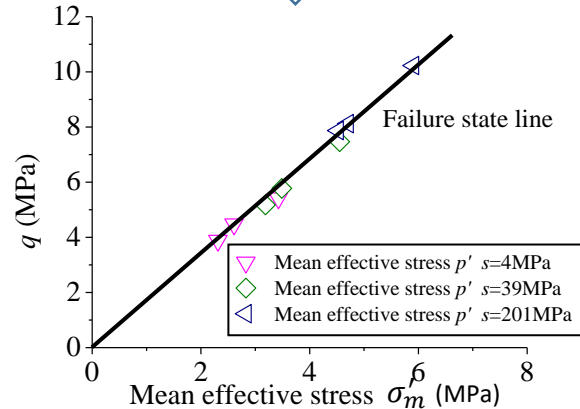
	Clay content (%)	Coefficient $\alpha$
Mix1	17	<b>0.85</b>
Mix2	26	<b>0.85</b>
Lim	35	<b>0.85</b>

Notations :  $\sigma_m = \frac{1}{3} (\sigma_1 + 2\sigma_3)$ ;  $q = \sigma_1 - \sigma_3$



Earth construction working range

(Xu et al., Soils and found., 2018)



# /// Example of elasto-plastic modelling with damage

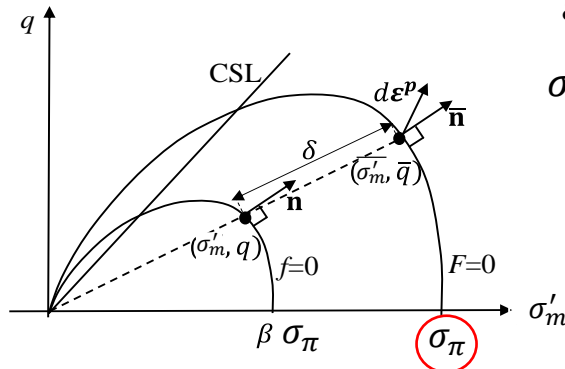
Assumptions: Isotropic damage by a scalar  $D$

Triaxial stress state ( $\sigma_1, \sigma_2 = \sigma_3$ )

Constant suction :  $ds = 0$

Damage criterion:  $f_D(Y_D, D, s) = Y_D - r(D, s) \leq 0$  Suction effect

Bounding Surface Plasticity (BSP)



$$\boldsymbol{\varepsilon} = \boldsymbol{\varepsilon}^e + \boldsymbol{\varepsilon}^p$$

$$\sigma_\pi(\boldsymbol{\varepsilon}_v^p, s, D) = (1 - D)(1 + k_1 \times l(s))\sigma_p(\boldsymbol{\varepsilon}_v^p)$$

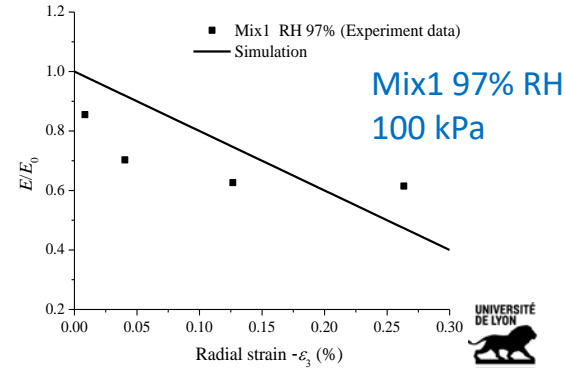
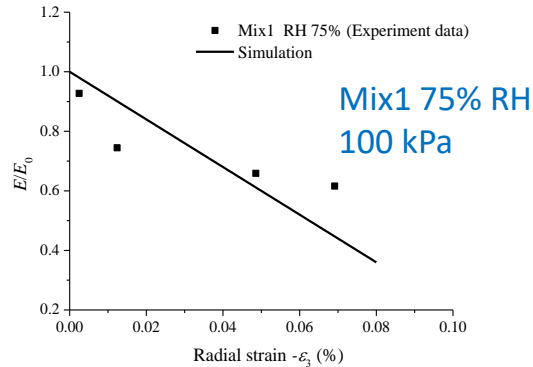
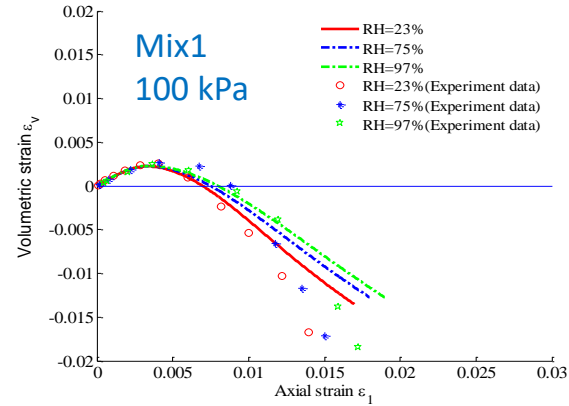
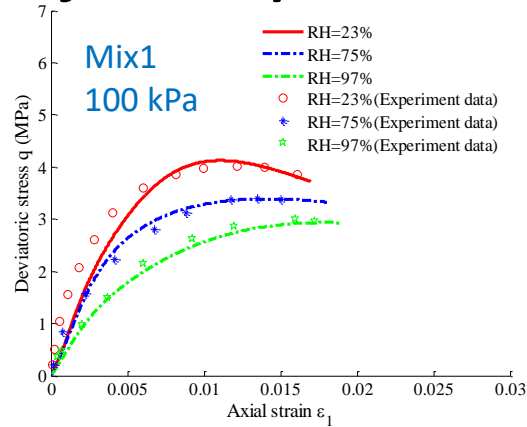
damage effect   
 suction hardening   
 plastic hardening

$$\sigma'_m = \frac{1}{3} (\sigma'_1 + 2 \sigma'_3) = \sigma_m + \chi s$$

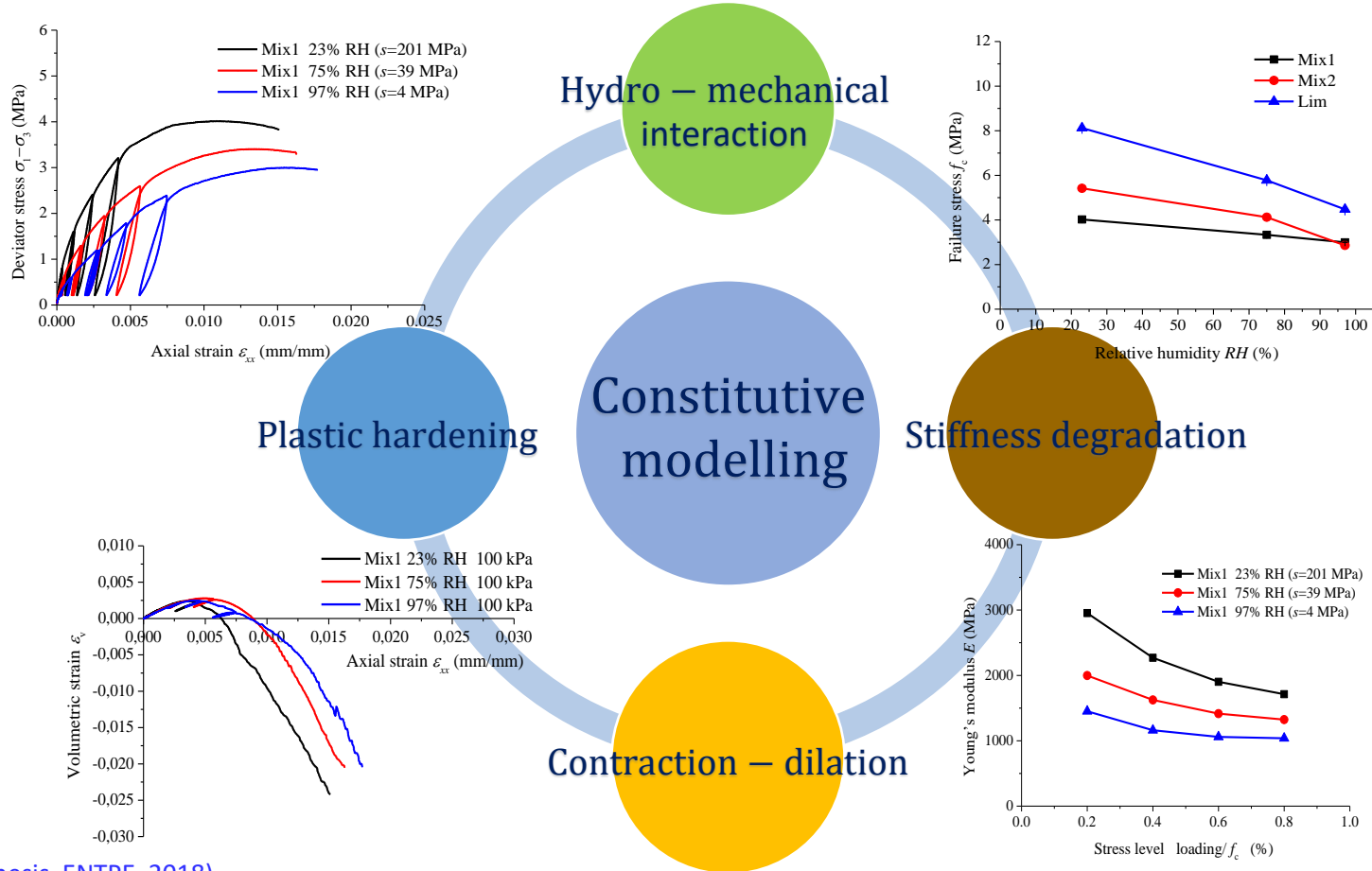
$$q = \sigma_1 - \sigma_3$$

$$\chi = \begin{cases} \left(\frac{s_e}{s}\right)^{0.85} & \text{if } s > s_e \\ 1 & \text{if } s \leq s_e \end{cases}$$

# /// Example of elasto-plastic modelling with damage



# /// Summary of HM behavior and modelling



# 04

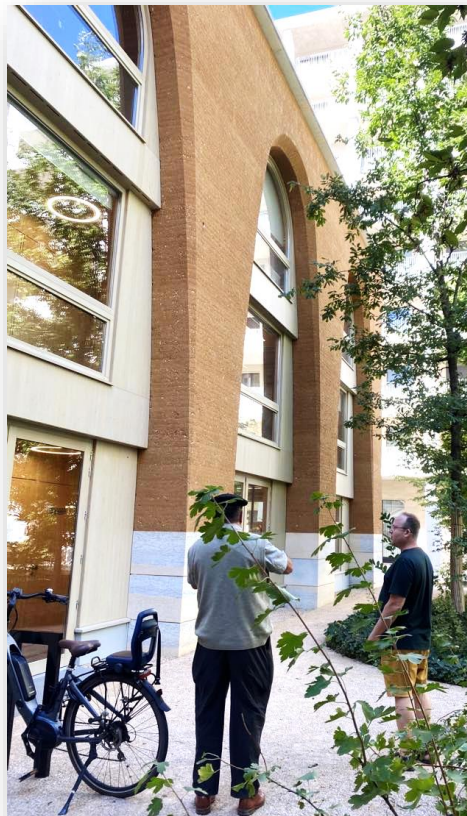
## On site assessment



**VIENTPE**

L'école de l'aménagement durable des territoires

# /// Non destructive assessment



## Mise en œuvre

Contrôle qualité |  
Identification défaut de mise en œuvre

## Mise en service

Suivi du bâtiment |  
Attestation des performances finales

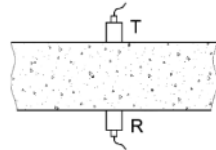
## Phase réhabilitation

Estimation des performances |  
Identification de pathologie

# /// Non destructive assessment

## ➤ Example of ultrasonic waves velocities

Méthode directe<sup>1</sup>



Estimation des propriétés élastiques d'un milieu à partir des mesures de vitesse de propagations d'ondes ultrasoniques.

Onde de compression et de cisaillement

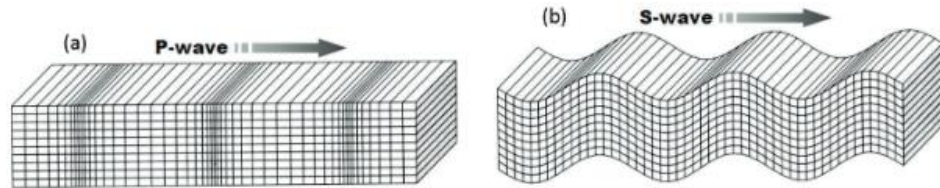


Figure 2.7. Particle motions characteristic of body waves propagation: (a) P-waves; (b) S-waves (Shearer, 1999).

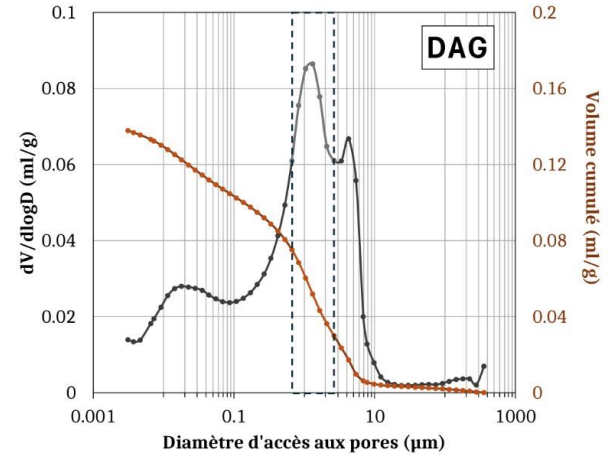
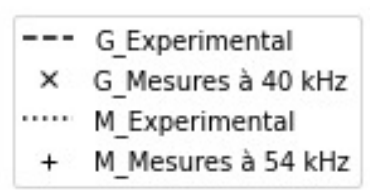
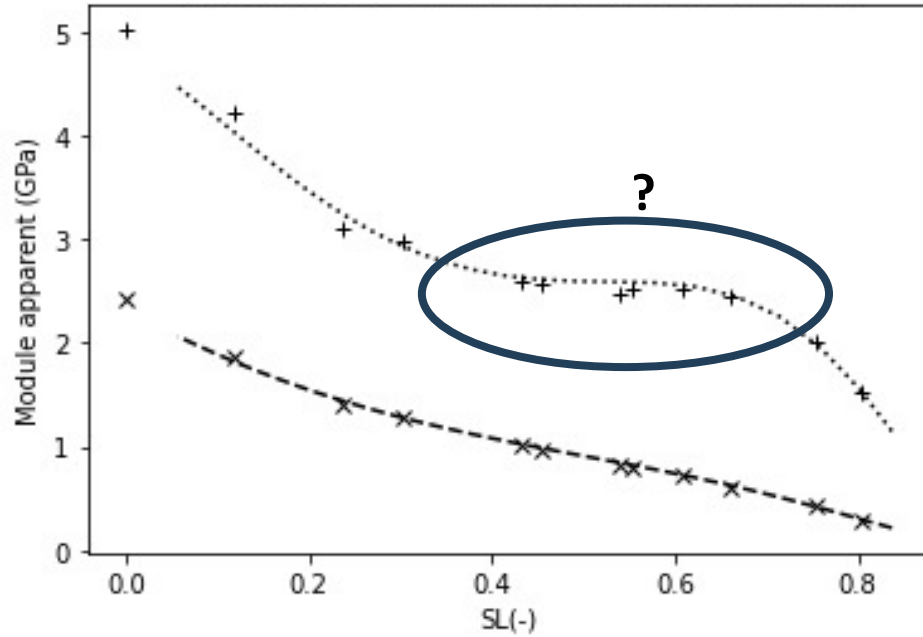
$$V_p = \sqrt{\frac{M}{\rho}} = \sqrt{\frac{E(1-\nu)}{\rho(1+\nu)(1-2\nu)}}$$

$$V_s = \sqrt{\frac{G}{\rho}} = \sqrt{\frac{E}{2\rho(1+\nu)}}$$



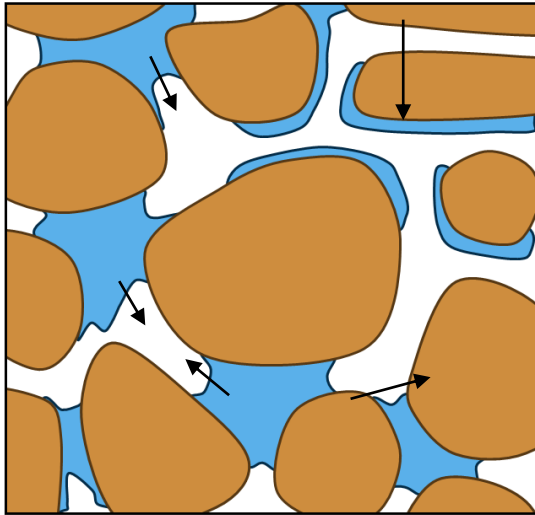
# /// Non destructive assessment

Evolution of confined (M) and shear (G) moduli with liquid saturation on CEB

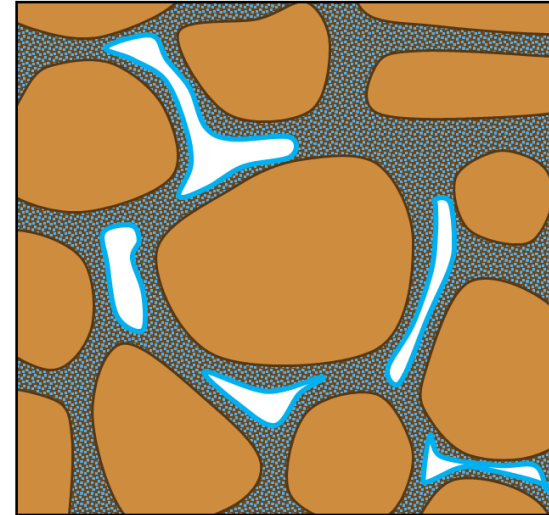


## /// Non destructive on site assessment

### Impact of liquid water on stiffness ?



At several dozen of kHz, water can participate to material stiffness



Solid clayey matrix is softened by the presence of water

# /// Non destructive on site assessment

Isothermal poro-elastic law of behaviour, with null gaz pressure

*Skeleton*

$$d\sigma_m = K d\varepsilon_m - b_L dp_L$$

$$ds = 2 G de$$

$$d\phi_L = b_L d\varepsilon_m + \frac{dp_L}{N_{LL}}$$

*Liquid water*

$$\frac{d\rho_L}{\rho_L} = \frac{dp_L}{K_L}$$

Mass conservation of liquid phase with undrained condition

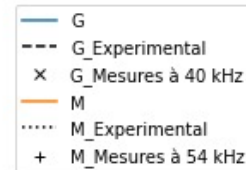
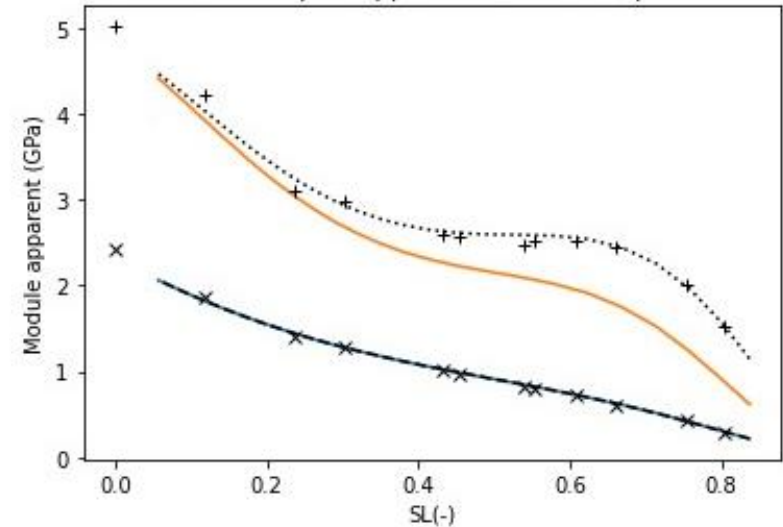
$$\frac{dm_L}{\rho_L} = d\phi_L + \phi_L \frac{d\rho_L}{\rho_L} = 0$$

$$\Rightarrow V_p = \sqrt{\frac{\tilde{M}}{\rho}} = \sqrt{\frac{\tilde{K} + 4G/3}{\rho}}; \quad V_s = \sqrt{\frac{G}{\rho}}$$

where

$$\tilde{M} = M + b_L^2 \left( \frac{1}{N_{LL}} + \frac{\phi_L}{K_L} \right)^{-1}$$

$$\tilde{G} = G$$



# /// On site applicability



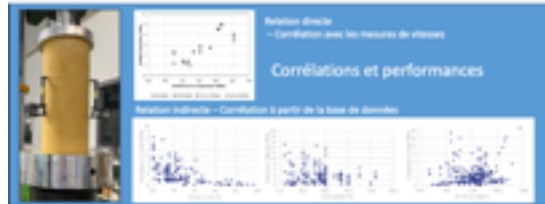
Suivi séchage sur Bloc  
Validation sur Atelier de la danse



Mesure vitesse de propagation sur site  
Validation sur démonstrateur



◆ Déterminer la Résistance à la compression

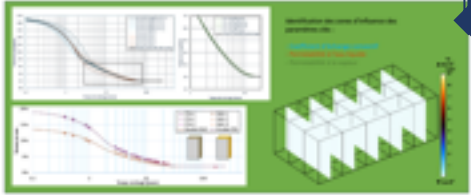


Mesure sur site

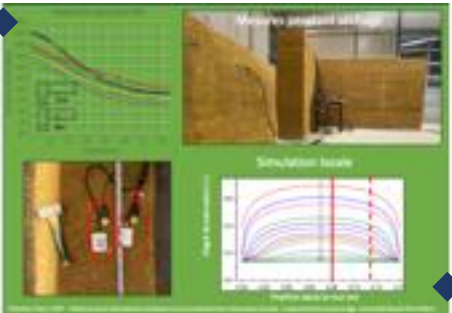
Mesure laboratoire

Déterminer teneur en eau sur site

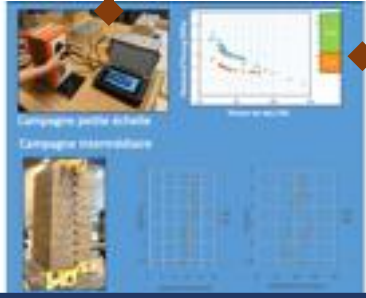
Vitesse  
-  
Propriétés mécaniques  
Teneur en eau



Déterminer cinétique de séchage



Validation sur démonstrateur  
Distribution teneur en eau

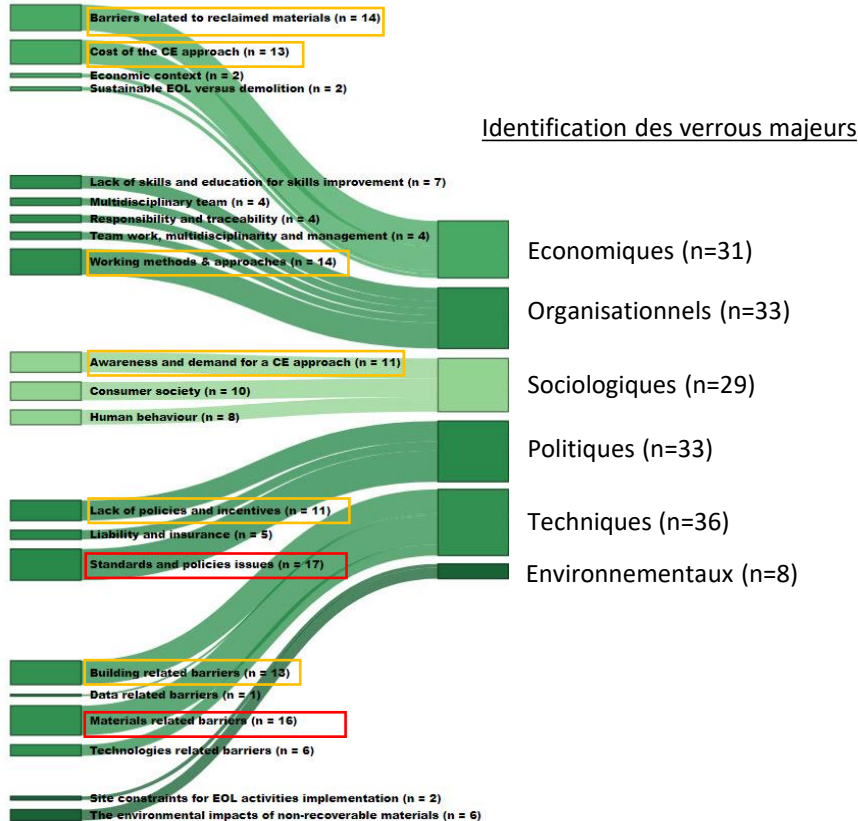


Lien vitesse et propriétés mécanique  
Etalonnage sur échantillon

Relation en milieu hétérogène  
Comportement au séchage

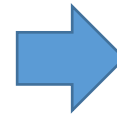
# /// Conclusion

## Les verrous actuels au développement



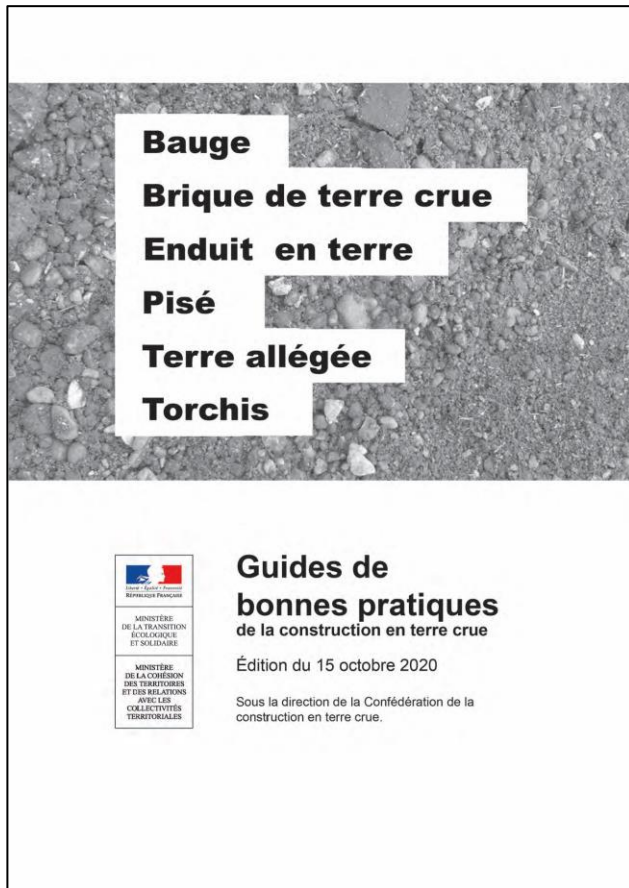
Identification des verrous basée sur des entretiens avec 20 personnes ayant des expériences internationales reconnues dans les champs de l'architecture, de l'éco-construction et de l'économie circulaire.

(Morel et al., Ph. Trans. B, 2021)



- ✓ Une grande partie de l'histoire de la terre crue moderne est encore à construire
- ✓ Cette construction ne pourra se faire que par une approche couplée combinant les différents aspects (techniques, sociologiques, politiques...)

# /// Conclusion



## Approche performantielle retenue



Pas de prescription des moyens permettant d'atteindre les performances mais :

- identification des performances attendues (en fonction de la technique constructive) et
- description des méthodes permettant d'évaluer correctement les performances

Ils facilitent l'assurabilité des constructions MAIS ne suffisent pas à faire entrer les constructions en terre dans les techniques courantes



**ENTPE**

L'école de l'aménagement durable des territoires